

Э. ЛИППМАА

## О ПРИМЕНЕНИИ ДВОЙНОГО РЕЗОНАНСА ПРИ ИССЛЕДОВАНИИ СПЕКТРОВ ЯДЕРНОГО МАГНИТНОГО РЕЗОНАНСА

Эффекты, вызываемые в ядерной спин-системе возмущающими высокочастотными магнитными полями, могут быть разделены на три группы [1, 8]:

1. Возмущение спин-системы под влиянием дополнительного высокочастотного поля  $H_2$  с изменением квантовых состояний, появлением новых уровней энергии [2, 3] и новых, ранее запрещенных переходов [4, 5, 9].

2. Отклонение населенностей уровней, непосредственно не возмущаемых полем  $H_2$ , от равновесного значения и вызываемое этим изменение интенсивностей отдельных спектральных линий (ядерный эффект Оверхаузера) [6, 7, 8].

3. Влияние на времена жизни отдельных квантовых состояний (релаксационные эффекты).

В случае наблюдения спектра при помощи слабого, далекого от насыщения высокочастотного поля  $H_1$  и возмущения отдельных линий или мультиплетов высокочастотным сигналом  $H_2$  по мере увеличения напряженности поля  $H_2$  наблюдаются следующие явления:

1.  $2\pi |J| \gg |\gamma| H_2 > \frac{1}{T_2^*}$  — образование субмультиплетов (тик-линг) [5].

2.  $2\pi |J| \approx |\gamma| H_2$  — усложнение спектра за счет появления новых линий [2].

3.  $2\pi |J| \ll |\gamma| H_2$  — максимальное подавление спин-спинового взаимодействия (коллапс) [10, 11].

Необходимым условием проявления ядерного эффекта Оверхаузера при отсутствии общих уровней энергии является различие продольных времен релаксации отдельных переходов в спин-системе. В благоприятных условиях ядерный эффект Оверхаузера может наблюдаться [7-9, 38] уже при низком значении напряженности поля  $H_2$ , когда

$$4. \gamma^2 H_2^2 T_1 T_2^* \approx 1.$$

Каждый из перечисленных четырех методов открывает новые возможности для интерпретации сложных спектров ЯМР.

Образование субмультиплетов из спектральных линий, имеющих общие уровни энергии с линией, возмущаемой полем  $H_2$  (режим 1), и ядерный эффект Оверхаузера применяются для определения взаимного расположения уровней энергии спин-системы [5, 7]. Эти методы, а также методы, основанные на применении промежуточной силы поля  $H_2$  (режим 2), используются для точного определения химических сдвигов [12], для нахождения скрытых линий в сложных спектрах [13, 14] и для определения знаков констант косвенной спин-спиновой связи [15-18, 30, 31].

Режим 3 обеспечивает максимальное подавление спин-спинового взаимодействия и используется для упрощения спектра [4, 10], но ввиду существования остаточного расщепления [6, 9] требует для успешного применения дополнительной частотной модуляции поля  $H_2$  [19]. Иногда этот метод используется как дополнительный упрощающий прием в тройном резонансе [20, 21].

### Техника эксперимента

Каждый из перечисленных вариантов двойного резонанса требует различной напряженности высокочастотного поля (нужный диапазон превышает 60 дБ) и может быть осуществлен как разверткой магнитного поля, так и разверткой  $\omega_1$  («развертка частоты») или  $\omega_2$  («Индор» [22]). Легче всего реализуется первый метод.

Вторая частота получается за счет амплитудной модуляции магнитного поля [23, 24] или частоты [13]. Иногда применяется модуляция с подавлением несущей [25, 26], однополосная модуляция [27], частотная модуляция [20] и синтез частоты [10, 12, 26]. Развертка магнитного поля не приводит, однако, к достаточно ясным и однозначным изменениям в спектре. Магнитное поле может быть стабилизировано лишь суперстабилизатором.

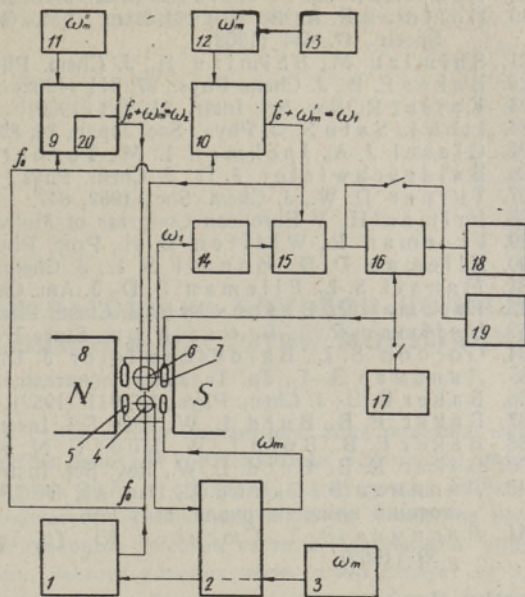
Оба метода частотной развертки требуют обязательного применения спин-стабилизатора. Обычно применяется схема Примаса [5, 28] с тремя [5, 7, 9] или двумя частотами модуляции [18, 29, 30]. Соответственно, модуляционными боковыми полосами являются либо  $H_1$  и  $H_2$ , либо только  $H_1$ . Модуляционные методы получения стабилизированного поля  $H_2$  трудно применимы, если для подавления спин-спинового взаимодействия [19], для изучения ядерного эффекта Оверхаузера [33] или релаксационных процессов [34] требуется дополнительная импульсная или частотная модуляция поля  $H_2$ . Аналогичные трудности появляются и при исследовании двойного резонанса протонов с другими ядрами. В этих случаях, а также в протон-протонном двойном резонансе для получения  $H_1$  и  $H_2$  все больше применяют синтез нужных частот [14, 35–38]. Практически во всех случаях стабилизация осуществляется стабилизатором Примаса [28] или Бейкера [39] с недостаточным быстродействием [41]. Предложенный нами [35] принцип управления системой синтеза частот  $\omega_1$  (поле  $H_1$ ) и  $\omega_2$  (поле  $H_2$ ) сигналом от спин-генератора имеет в этом отношении преимущества.

### Спектрометр для исследования двойного магнитного резонанса протонов на частоте 40 мГц

Спектрометр (см. рисунок) работает с двумя датчиками и состоит из канала стабилизации с фазово-синхронизированным спин-генератором [40] (1, 2, 3, 4, 5) и измерительного канала с двумя блоками синтеза частоты для получения измерительной частоты  $\omega_1$  (поле  $H_1$ ) и возмущающей частоты  $\omega_2$  (поле  $H_2$ ). Спектрометр может работать с разверткой измерительной частоты  $\omega_1$ , возмущающей частоты  $\omega_2$  или с одновременной разверткой  $\omega_1$  и  $\omega_2$  (что соответствует развертке магнитного поля). Низкочастотный генератор с линейной разверткой в диапазоне от 4,3 до 5,7 кГц подключается, соответственно, к блокам синтеза частоты 9, 10 или 1. Развертка не влияет на амплитуды высокочастотных полей  $H_1$  и  $H_2$ . Стабильность прибора определяется термическим дрейфом магнита IM-300 фирмы «JEOL» (Япония) и составляет около 0,1 гц за время снятия одного спектра. Спектрометр используется для иссле-

Блок-схема спектрометра:

1 — управляемый осциллятор спин-генератора; 2 — спин-генератор [ $^{40}$ ]; 3 — низкочастотный генератор; 4 — скрещенные катушки датчика спин-генератора; 5 — модуляционные катушки катушки спин-генератора; 6 — скрещенные катушки измерительной головки; 7 — модуляционные катушки; 8 — электромагнит IM-300 („JEOL“, Япония); 9 — блок синтеза частоты для получения  $\omega_2$ ; 10 — блок синтеза частоты для получения  $\omega_1$ ; 11 — низкочастотный генератор; 12 — управляемый низкочастотный генератор; 13 — генератор напряжения развертки; 14 — усилитель высокой частоты; 15 — высокочастотный фазовый детектор; 16 — низкочастотный фазовый детектор; 17 — генератор модуляционной частоты; 18 — самописец; 19 — осциллоскоп; 20 — импульсный модулятор.



дования образования субмультиплетов (тиклинг) и для подавления спин-спинового взаимодействия (коллапс). Результаты этих исследований будут опубликованы отдельно.

### Выводы

1. Дается обзор методов двойного ядерного магнитного резонанса и применяемых спектрометров.

2. Описан универсальный спектрометр, позволяющий использовать все изложенные варианты двойного протон-протонного ядерного магнитного резонанса.

### ЛИТЕРАТУРА

- Baldeschwieler J. D., J. Chem. Phys., **40**, 459 (1964).
- Baldeschwieler J. D., J. Chem. Phys., **34**, 718 (1961).
- Nageswara Rao B. D., Baldeschwieler J. D., J. Chem. Phys., **37**, 2473 (1962).
- Bloom A. L., Shoolery J. N., Phys. Rev., **97**, 1261 (1955).
- Freeman R., Anderson W. A., J. Chem. Phys., **37**, 2053 (1962).
- Bloch F., Phys. Rev., **102**, 104 (1956).
- Kaiser R., J. Chem. Phys., **39**, 2435 (1963).
- Kuhlmann K., Baldeschwieler J. D., J. Amer. Chem. Soc., **85**, 1010 (1963).
- Anderson W. A., Freeman R., J. Chem. Phys., **37**, 85 (1962).
- Anderson W. A., Phys. Rev., **102**, 151 (1956).
- Абрагам А., Ядерный магнетизм, Изд. иностр. лит., М., 1963.
- Baldeschwieler J. D., Randall E. W., Chem. Rev., **63**, 81 (1963).
- Elvidge J. A., Jackman L. M., J. Chem. Soc., **1961**, 859.
- Freeman R., Anderson W. A., J. Chem. Phys., **39**, 806 (1963).
- Maher J. P., Evans D. F., Proc. Chem. Soc., **1961**, 208.
- Freeman R., Whiffen D. H., Mol. Phys., **4**, 321 (1961).
- Freeman R., Mol. Phys., **4**, 385 (1961).
- Freeman R., Mol. Phys., **5**, 499 (1962).

19. Anderson W. A., Nelson F. A., J. Chem. Phys., **39**, 183 (1963).
20. Hoffman R. A., Bo Gestblom, Salo Gronowitz, Sture Forsen, J. Mol. Spectr., **11**, 454 (1963).
21. Shimizu M., Shimizu H., J. Chem. Phys., **41**, 2329 (1964).
22. Baker E. B., J. Chem. Phys., **37**, 911 (1962).
23. Kaiser R., Rev. Sci. Instr., **31**, 963 (1960).
24. Itoh I., Sato S., J. Phys., Soc. Japan, **14**, 851 (1959).
25. Glasel J. A., Jackman L. M., Turner D. W., J. Chem. Soc., **1961**, 426.
26. Baldeschwieler J. D., J. Chem. Phys., **36**, 152 (1962).
27. Turner D. W., J. Chem. Soc., **1962**, 847.
28. Primas H., V European Congress of Molec. Spectr., Amsterdam, 1961.
29. Freeman R., Whiffen D. H., Proc. Phys. Soc., **79**, 794 (1962).
30. Elleman D. D., Manatt S. L., J. Chem. Phys., **36**, 2346 (1962).
31. Manatt S. L., Elleman D. D., J. Am. Chem. Soc., **84**, 1579 (1962).
32. Freeman R., Bhacca N. S., J. Chem. Phys., **38**, 1088 (1963).
33. Hoffman R. A., Bo Gestblom, Sture Forsen, J. Chem. Phys., **39**, 486 (1963).
34. Gordon S. L., Baldeschwieler J. D., J. Chem. Phys., **41**, 571 (1964).
35. Липпмаа Э. Т., Тр. Таллинск. политехн. ин-та, Сер. А 195, 65 (1962).
36. Baker E. B., J. Chem. Phys., **37**, 911 (1962).
37. Baker E. B., Burd L. W., Rev. Sci. Instr., **34**, 238 (1963).
38. Baker E. B., Burd L. W., Root G. N., Rev. Sci. Instr., **34**, 243 (1963).
39. Baker E. B., Burd L. W., Rev. Sci. Instr., **28**, 313 (1957).
40. Липпмаа Э., Сюгис А., Изв. АН ЭССР. Сер. физ.-мат. и техн. наук. См. настоящего номер журнала, стр. 129.
41. Липпмаа Э. Т., Сюгис А. Ю., Тр. Таллинск. политехн. ин-та, Сер. А 195, 59 (1962).

Институт кибернетики  
Академии наук Эстонской ССР

Поступила в редакцию  
6/I 1965

E. LIPPMAA

### TOPELTRESONANTSI KASUTAMISEST TUUMARESONANTSSPEKTRITE ANALÜÜSIL

Antakse ülevaade topeltresonantsi efektidest, meetodeist ja võimalustest spektrite analüüsi lihtsustamise puhul ning kasutatavast aparatuurist.

E. LIPPMAA

### USE OF NUCLEAR MAGNETIC DOUBLE RESONANCE IN THE ANALYSIS OF HIGH-RESOLUTION NMR SPECTRA

A universal proton-proton nuclear double resonance spectrometer must allow all possible techniques (field sweep, frequency sweep, INDOR) to be used with a broad (60 db) range of perturbing and measuring field strengths, to be spin-stabilized and as free from noise and spurious signals as possible. The amplitudes of the perturbing field  $H_2$  and measuring field  $H_1$  must be independent of their frequencies — a near impossibility with modulation methods. In some experiments  $H_2$  must be available for further pulse or frequency modulation. For these reasons a 40 Mc spectrometer, stabilized by spin generator and using frequency synthesis to obtain  $H_1$  and  $H_2$  has been built. Until now the apparatus has been used for tickling and spin decoupling experiments with good results. The drift is about 0.1 cps/min, resolution  $1.2 \cdot 10^{-8}$ .